

تهیه نقشه حساسیت زمین لغزش با استفاده از مدل بیزین (مطالعه موردی: بخشی از حوضه آبخیز تالار، استان مازندران)

زهره سیلاخوری: دانش‌آموخته گروه آبخیزداری، دانشگاه علوم کشاورزی و منابع طبیعی ساری، ساری
 قربان وهاب‌زده کبری*: دانشیار گروه آبخیزداری، دانشگاه علوم کشاورزی و منابع طبیعی ساری، ساری
 حمیدرضا پورقاسمی: دانشیار بخش مهندسی منابع طبیعی و محیط زیست، دانشگاه شیراز، شیراز

نوع مقاله: پژوهشی

(تاریخ دریافت: ۱۴۰۰/۷/۶ تاریخ پذیرش: ۱۴۰۱/۷/۱۴)



چکیده

زمین لغزش، جزء فراوان‌ترین پدیده‌های زمین‌شناسی در حوضه‌های آبخیز است و از آن به عنوان لندفرمی ژئومورفولوژیک یاد می‌شود که سالانه خسارت‌های فراوان جانی، مالی و منابع طبیعی در پی دارد. استان مازندران نیز از این قاعده مستثنی نیست. هدف از این تحقیق، پهنه‌بندی خطر زمین لغزش با استفاده از تئوری بیزین در حوضه آبخیز تالار واقع در استان مازندران است. در این روش، متغیرها از توزیع‌های احتمال پیروی می‌کنند و تصمیم‌گیری بهینه را می‌توان با استدلال بر توزیع‌های احتمال و داده‌های مشاهده شده انجام داد؛ به این منظور ابتدا با استفاده از نقاط لغزشی موجود، نقشه پراکنش زمین لغزش‌های منطقه تهیه شد. سپس نقشه هر یک از عوامل مؤثر بر زمین لغزش شامل درجه شیب، جهت شیب، شکل شیب (تعب و تقعر شیب)، ارتفاع، کاربری اراضی، سنگ‌شناسی، فاصله از جاده، فاصله از آبراهه، فاصله از گسل، شاخص رطوبت توپوگرافی (TWI)، شاخص طول شیب یا حمل رسوب (STI) و پوشش گیاهی منطقه رسم شد. در نهایت نیز نقشه پهنه‌بندی حساسیت زمین لغزش با استفاده از تئوری بیزین برای منطقه مورد مطالعه در پنج کلاس خیلی کم، کم، متوسط، زیاد و خیلی زیاد تهیه شد. نتایج نشان داد که بیشتر زمین لغزش‌ها مربوط به کلاس با شیب ۳۰-۱۵ درجه، با وزن ۱/۲۸ و از نظر جهت شیب در غرب و جنوب منطقه به ترتیب با وزن ۲/۲ و ۲/۴۱ رخ داده است. همچنین بیشتر زمین لغزش‌ها، در شیب محدب و از نظر ارتفاعی در کلاس ۱۰۰۰-۵۰۰ متر با وزن ۴/۰۷ شکل گرفته است. سنگ‌های ماسه‌ای، شیلی و سیلتی و کاربری مرتع، بیشترین تأثیر را در زمین لغزش داشت. بررسی فاصله زمین لغزش‌ها از جاده، آبراهه و گسل نیز نشان داد که بیشتر لغزش‌ها در فاصله کمتر از ۱۰۰-۰ متری این عوامل رخ داده است که رابطه نزدیک بین آنها را نشان می‌دهد. بیشترین زمین لغزش‌ها از نظر پوشش گیاهی، مربوط به طبقه ۰/۵-۰/۳ با وزن ۳/۵۶ است. تحلیل رطوبت توپوگرافیک و شاخص حمل رسوب (توان آبراهه) نشان داد که بیشترین وزن لغزشی به ترتیب مربوط به طبقات ۱۱/۲۹-۶/۳۹ و ۱۱/۸۴-۱۹/۶ با وزن‌های ۱/۰۰۹ و ۱/۱۷ است. علاوه بر این، نتایج نشان داد که زمین لغزش‌ها به ترتیب در کلاس‌های با حساسیت کم ۲۵/۴۰ درصد، متوسط ۳۱/۵۶ درصد، زیاد ۲۸/۷۲ درصد و خیلی زیاد ۱۴/۳۰ قرار گرفته است. اعتبارسنجی مدل نیز نشان داد که سطح زیرمنحنی ROC برای مدل بیزین ۸۵/۵۶ است که در طبقه خیلی خوب قرار می‌گیرد.

واژگان کلیدی: نقشه حساسیت، زمین لغزش، تئوری بیزین، حوضه آبخیز تالار.

۱- مقدمه

مدل سازی حساسیت پذیری نسبت به زمین لغزش، در تصمیم گیری و برنامه ریزی کاربری اراضی زمین به خصوص در نواحی کوهستانی اهمیت اساسی دارد. یکی از این مدل‌ها، تلفیق شاخص آنتروپی شانون و وزن شاهد تئوری بیزین است (Shirani, 2017). زمین لغزش به حرکت مواد زمین اعم از خاک و سنگ اطلاق می‌شود که تحت تأثیر نیروی ثقل در مناطق شیب دار به طرف پایین صورت می‌گیرد (Silakhori et al, 2021). در واقع، این پدیده یکی از گسترده ترین و مخرب ترین خطرهای طبیعی در نواحی کوهستانی است (Shirani et al, 2018 & Mansouri et al, 2017) و علاوه بر این، نه تنها در محیط‌های طبیعی بلکه در مناطق شهری — که بر روی تپه‌های رسی و مارنی گسترش می‌یابد — نیز رخ می‌دهد (Beheshti et al, 2021). زمین لغزش یکی از عوامل اساسی تخریب منابع طبیعی در مناطق کوهستانی است و همواره در سراسر جهان به خسارت‌های سنگین جانی و مالی فراوان منجر می‌شود (Koehorst et al, 2005). در سه دهه اخیر، تحقیقات متعددی در مورد پهنه بندی حساسیت زمین لغزش انجام شده است و همه روش‌های آن، براساس نوع تجزیه و تحلیل در پنج گروه مختلف شامل تجزیه و تحلیل پراکندگی لغزش‌ها، تجزیه و تحلیل کیفی، تجزیه و تحلیل آماری و ... قرار می‌گیرد. کشور ایران با توپوگرافی به طور عمده کوهستانی، فعالیت زمین ساختی، لرزه خیزی زیاد و شرایط متنوع زمین شناسی و اقلیمی، دارای عمده شرایط طبیعی برای ایجاد طیف وسیعی از زمین لغزش‌ها است (Talebi and Niyazi, 2011)؛ به طوری که از حدود ۴۳ خطر طبیعی، ۳۸ خطر در ایران شناسایی و ثبت شد و به دلیل تعدد، تنوع، تکرار و شدت وقوع خطرات طبیعی و ناآرامی محیط، در ردیف ده کشور بلاخیز جهان قرار گرفته است (Mohammadi et al, 2004). پیش بینی زمان وقوع زمین لغزش در زمینه نوع، فراوانی و توزیع آنها، از توان علم بشر خارج است؛ بنابراین، با پهنه بندی و تهیه نقشه زمین لغزش می‌توان مناطق بحرانی و مستعد را مشخص کرد و با شناسایی عوامل مؤثر و با کمک مدل‌های مناسب، می‌توان اقدامات پیشگیرانه‌ای انجام داد و از خسارت‌های ناشی از لغزش کاست که این امر، گامی مهم در مدیریت حوضه آبخیز به شمار می‌رود (Karimi Sangchini et al, 2018 & Ranjbar and Mehmar Eftekhari, 2012). زمین لغزش‌های حوضه آبریز اهرچای، با استفاده از روش شیء گرا و تئوری بیزین پهنه بندی شد و نتیجه از این حاکی بود که شیب‌های بین ۲۵-۲۰ درجه و فاصله ۱۷۰ تا ۱۲۵ متر از رودخانه، بیشترین تأثیر را در زمین لغزش منطقه داشت (Fathi et al, 2018). تهیه نقشه حساسیت زمین لغزش برای حوضه آبخیز سیاهرود گیلان نیز با روش بیزین انجام شد و نتیجه نشان داد که شیب‌های بین ۵-۲۰ درجه و فاصله صفر تا صد متری از رودخانه، از عوامل اصلی زمین لغزش است. دقت این روش برای مدل سازی نیز به میزان ۸۳/۳ درصد به دست آمد (Esfandiari et al, 2014). Piacentinia و همکاران (2012) با استفاده از مدل تئوری بیزین، به پهنه بندی حساسیت زمین لغزش در جنوب منطقه تیروول در کشور ایتالیا پرداختند و نشان دادند که نقشه حساسیت زمین لغزش برای پیش بینی زمین لغزش‌ها با درصد بالایی (۷۵٪) قابل اطمینان است. Mohammady و همکاران (2012) با استفاده از سه مدل بیزین، دمپستر — شیفر و "نسبت تکرار"، حساسیت زمین لغزش را در بخشی از استان گلستان پهنه بندی کردند. طبق این ارزیابی، مدل "نسبت تکرار" با دقت ۷۵ درصد، بهترین نتیجه را در بین سه مدل بیان شده به خود اختصاص داد. استان‌های شمالی کشور به لحاظ اقلیمی شرایط ویژه‌ای دارد و عواملی چون بارندگی مناسب به همراه سازندهای زمین شناسی حساس به فرسایش و شیب توپوگرافی،

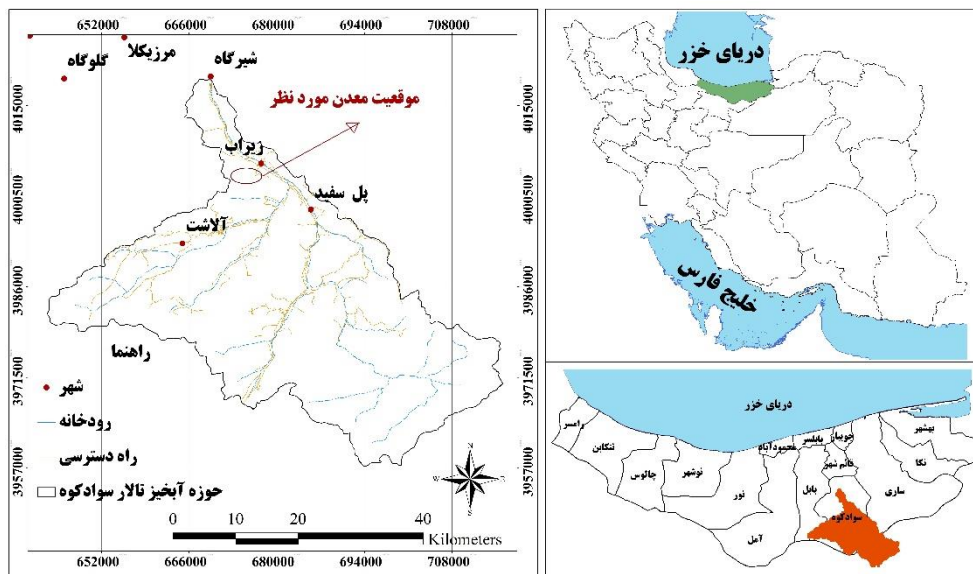
قرار گرفتن بر روی کمربند کوهزایی آلپ - هیمالیا و وجود گسل‌های فعال، پتانسیل لازم را برای شکل‌گیری حرکات توده‌ای به خصوص زمین لغزش فراهم کرده است (Balali, 2016).

حوضه آبخیز تالار به این دلیل که در ساحل دریای خزر به صورت کشیده گسترده شده است، ارتفاعی بین ۲۸- متر تا حدود ۳۸۰۰ متر دارد و این تغییر ارتفاع با تنوع اقلیم همراه است. علاوه بر این، وجود روستاهای زیاد در پایین دست تا بالادست به ایجاد انواع کاربری اراضی منجر می‌شود که در زمین لغزش مؤثر است (Balali, 2016). بنابراین هدف از تحقیق حاضر، تهیه نقشه حساسیت به زمین لغزش با استفاده از مدل احتمالاتی بیزین — به دلیل کارایی مناسب در بین سایر مدل‌های برآورد زمین لغزش — است. این مدل بر استدلال و استنتاج بر پایه احتمال مبتنی است؛ به طوری که به این روش، شبکه تصادف و تصمیم‌گیری گفته می‌شود و برای مدیریت جامع حوضه به کار می‌رود. مبنای این مدل بر این فرض استوار است که کمیت‌های مورد نظر، از توزیع‌های احتمال پیروی می‌کند و تصمیم‌گیری بهینه را می‌توان با استدلال بر این توزیع‌های احتمال و داده‌های مشاهده شده انجام داد و امکان اثبات بهینگی دارد. مرور منابع نشان می‌دهد که در این تحقیق از عوامل شاخص طول شیب و حمل رسوب (STI)، شاخص رطوبت توپوگرافیک (TWI) و به خصوص شاخص پوشش گیاهی (NDVI) استفاده شد که محققان بالا بدان توجه نداشتند یا کمتر آن را به کار بردند. در همین راستا باید اضافه کرد که زمین لغزش‌های حوضه آبخیز تالار در استان مازندران، تاکنون فقط با روش دمپستر- شيفر پهنه‌بندی شده است (Silakhori et al, 2021). برای مقایسه نتایج این روش با روش پراگماتیک و فراگیرتر دیگر از جمله روش بیزین، لازم است پهنه‌بندی زمین لغزش‌ها با مدل بیزین انجام شود. بنابراین هدف از تحقیق حاضر، شناسایی و اولویت‌بندی مناطق حساس به لغزش و عوامل مؤثر در آن با استفاده از تئوری بیزین و سامانه اطلاعات جغرافیایی حوضه آبخیز تالار است که می‌تواند در تصمیم‌گیری‌ها و مدیریت جامع این حوضه آبخیز نقش اساسی داشته باشد.

۲- منطقه مورد مطالعه

حوضه آبخیز رودخانه تالار در شهرستان‌های سوادکوه و قائمشهر استان مازندران، در بخش مرکزی رشته کوه‌های البرز قرار دارد. این حوضه از نظر موقعیت جغرافیایی بین طول‌های $52^{\circ}50'26''$ تا $53^{\circ}15'42''$ شرقی و عرض‌های $21^{\circ}35'54''$ تا $36^{\circ}18'57''$ شمالی واقع است و مساحتی در حدود ۹۸۱ کیلومتر مربع دارد که از شمال به کوه ورزاک، از جنوب به کوه‌های زرشک‌دره و هلی‌چال، از شرق به روستاهای سنگده و ولیچال و از غرب به معدن کارسنگ محدود می‌شود. ارتفاع کمینه و بیشینه در منطقه نیز به ترتیب ۳۵ و ۳۵۲۰ متر است. تغییرات زیاد توپوگرافی در این منطقه، به ایجاد شرایط اقلیمی و پوشش‌های گیاهی خاص و متنوعی منجر می‌شود؛ به طوری که در فصول سرد در مناطق پست‌تر، بارش به صورت باران و در ارتفاع‌ها به صورت برف است. حوضه آبخیز تالار به دلیل موقعیت جغرافیایی، ویژگی‌های طبیعی و اقلیمی و تنوع بالای سنگ‌شناسی، مستعد بروز زمین لغزش است. خاک و آب و هوای مناسب منطقه نیز شرایط ویژه‌ای را برای کشاورزی بر روی اراضی و جذب توریست و افراد غیر بومی به منطقه فراهم کرده که این امر، تغییرات شدید کاربری در اراضی جنگل و مرتع و تبدیل شدن آنها به اراضی کشاورزی و مسکونی را به همراه داشته است و این موضوع خود می‌تواند در وقوع حرکات توده‌ای مؤثر باشد (شکل ۱). خروجی حوضه در شمال و در جلگه قائمشهر، از سازندهای دوران چهارم زمین‌شناسی، بخش میانی حوضه آبخیز از سازند کنگلو مریایی پلیوسن و ماسه‌سنگ، لای سنگ و مارن پالئوژن و در جنوب حوضه از سازند زغال‌دار شمشک تشکیل شده است. میزان بارندگی

و دما از شمال حوضه (خروجی) به سمت جنوب در مرزهای استان تهران و سمنان کم می‌شود. میانگین بارش سالیانه از هشتصد میلی‌متر در شمال حوضه تا چهارصد میلی‌متر در ارتفاعات جنوب حوضه متغیر است و متوسط دما نیز از شانزده درجه سانتی‌گراد در شمال تا ده درجه در ارتفاعات جنوب است. حوضه آبخیز تالار از نظر مورفوتیکی نیز در سه منطقه نیمه‌خشک، ساوان و معتدل قرار می‌گیرد. در این میان، بیشترین مساحت مربوط به منطقه ساوان (۵۰٪) و کمترین مساحت مربوط به منطقه معتدل است. از نظر وضعیت هوازگی، سه نوع هوازگی شیمیایی متوسط، هوازگی مکانیکی کم و هوازگی خیلی کم در این حوضه شکل می‌گیرد که هوازگی شیمیایی متوسط با ۵۶ درصد، بیشترین مساحت را در حوضه آبخیز تالار دارد (Vahabzadeh et al, 2021).



شکل ۱: موقعیت جغرافیایی منطقه مورد مطالعه روش تحقیق

۳- مواد و روش

برای تهیه نقشه حساسیت به زمین‌لغزش با استفاده از تئوری بی‌زین، ابتدا نقاط لغزشی منطقه شناسایی شد که این امر با استفاده از بانک اطلاعات زمین‌لغزش اداره کل منابع طبیعی استان مازندران و مطالعات میدانی صورت گرفت. بازدیدهای میدانی، صحت اطلاعات جمع‌آوری شده ارزیابی شد، سپس با استفاده از سیستم موقعیت‌یاب جهانی (GPS^۱)، موقعیت نقاط لغزشی بررسی و ۲۶ زمین‌لغزش جدید ثبت شد. در مجموع، ۱۳۴ نقطه لغزشی بررسی شد که از ۹۴ نمونه آن برای آموزش (هفتاد درصد) و از ۴۰ نمونه (سی درصد) برای ارزیابی مدل استفاده شد. همچنین در این تحقیق، دوازده لایه اطلاعاتی شامل نقشه ارتفاع از سطح دریا، جهت شیب، درجه شیب، شکل شیب، فاصله از گسل، فاصله از جاده، کاربری اراضی، زمین‌شناسی، فاصله از آبراهه، شاخص طول شیب یا شاخص حمل‌رسوب (STI)^۲، شاخص رطوبت توپوگرافیک (TWI)^۳ و شاخص پوشش گیاهی (NDVI)^۴ با استفاده از نقشه‌های توپوگرافی ۱:۵۰۰۰۰، زمین‌شناسی ۱:۱۰۰۰۰۰، خاک‌شناسی و تصاویر ماهواره‌ای IRS مربوط به سال ۲۰۱۲ تهیه و در محیط نرم‌افزهای

^۱ Global positioning System

^۲ Sediment transport index

^۳ Topographic Water Index

^۴ Normalized Difference Vegetation Index

ENVI4.7 و ArcGIS10.3 طبقه‌بندی شد. در پردازش تصاویر ماهواره‌ای، برای تصحیح اتمسفری از روش $\text{Cos}(t)$ و برای تصحیح هندسی از روش نقشه به تصویر استفاده شد. پس از اجرای پیش‌پردازش‌های لازم، برداشت نمونه‌های تعلیمی با استفاده از دستگاه GPS در سطح حوضه آبخیز صورت گرفت. نمونه‌های تعلیمی نیز با روش نمونه‌برداری تصادفی ساده با پراکنش و تعداد مناسب در کل سطح حوضه برداشت شد. ذکر این امر لازم است که شاخص حمل رسوب، یکی از عوامل تأثیرگذار بر وقوع زمین لغزش است که رابطه مستقیمی با طول شیب دارد و به جای هم استفاده می‌شود. نقشه شاخص حمل رسوب نیز از روی نقشه مدل رقومی ارتفاع DEM¹ در نرم‌افزار (SAGA)² تهیه می‌شود. این مدل هم از رقومی کردن نقشه توپوگرافی ۱:۲۵۰۰۰ در محیط نرم‌افزار ArcGIS 10.3 تهیه می‌شود. برای محاسبه شاخص حمل رسوب یا شاخص قدرت آبراهه (SPI)، از رابطه ۱ استفاده شد. در این معادله، اندازه قدرت فرسایش جریان آب متناسب با تخلیه آب بود و این خود تابع وسعت حوضه است (Moore and Burch, 1986).

$$SPI = A_s \cdot \tan B$$

رابطه ۱

برای محاسبه شاخص رطوبت توپوگرافیک (STI)، از رابطه ۲ استفاده شد. این عامل براساس مساحت حوضه A_s و سینوس گرادیان شیب ($\sin B$)، قابلیت حمل رسوب را در حوضه کنترل می‌کند.

$$STI = (A_s / 22.13)^{0.62} (\sin B / 0.0896)^{1.3}$$

رابطه ۲

تئوری بیزین

به علت فقدان قطعیت در رخداد برخی پدیده‌های طبیعی از جمله وقوع زمین لغزش، نمی‌توان پارامترهای سیستم را به درستی بیان کرد. برای تبیین این نوع موضوعات، تئوری‌های زیادی وجود دارد که به بررسی فقدان اطمینان می‌پردازد که در این مقاله، از تئوری احتمالاتی بیزین یا وزن واقعه استفاده شد (Pourghasemi et al, 2010). در همین زمینه یکی از موضوعات علم احتمال، مبحث احتمال شرطی است. در این مورد، وقتی دو یا چند رویداد به یکدیگر وابسته باشد، وقوع یا عدم وقوع یکی بر وقوع یا عدم وقوع دیگری تأثیر می‌گذارد؛ در این صورت، احتمال وقوع یکی را پس از اینکه دیگری به وقوع پیوسته باشد، محاسبه می‌کند. چنین احتمالی را احتمال شرطی می‌گویند که در این مقاله به صورت $P(b | a)$ یعنی احتمال وقوع b پس از آنکه a اتفاق افتاده باشد، نشان داده شد (Rezaei, 2007). در این مقاله، از بخشی از مهم‌ترین عوامل مؤثر بر وقوع زمین لغزش — که براساس تجارب متخصصان در مجلات علمی انتشار یافته و به باور علمی تبدیل شده‌است — استفاده شد. به طور کلی می‌توان گفت تئوری بیزین در دهه‌های اخیر، کاربردهای زیادی در علوم و به‌ویژه در پهنه‌بندی خطر زمین لغزش داشت (رابطه ۳).

$$P(b | a) = P(a | b) \times P(b) / P(a)$$

رابطه ۳

¹ Digital Elevation Model

² System for Automated Geoscientific Analyses

که در آن $P(a)$ احتمال وقوع پیشامد a ، $P(b)$ احتمال وقوع پیشامد b و $P(b|a)$ احتمال وقوع پیشامد b به شرطی که پیشامد a اتفاق افتاده باشد. $P(a|b)$ نیز احتمال وقوع پیشامد a به شرطی است که پیشامد b اتفاق افتاده باشد (Pourghasemi et al, 2011 & Shirani, 2017). به این منظور، ابتدا وزن‌های محتمل هر عامل و طبقه‌های مربوط به آن با استفاده از رابطه‌های (۴ و ۵) محاسبه می‌شود:

$$w_i^+ = \log_e[P(B_i | S) / P(B_i | \bar{S})] \quad \text{رابطه ۴}$$

$$w_i^- = \log_e[P(\bar{B}_i | S) / P(\bar{B}_i | \bar{S})] \quad \text{رابطه ۵}$$

به منظور درک هر چه بهتر روابط (۴ و ۵) و سهولت کار به‌ویژه در محیط GIS، مدل براساس جدول ۱ و به صورت رابطه‌های (۶ و ۷) ارائه شد (Yesilnacar, 2005) و در نهایت، وزن نهایی بر اساس روابط (۸ و ۹) برای هر عامل به منظور پهنه‌بندی خطر زمین‌لغزش استفاده شد (Shirani, 2017 & Pourghasemi et al, 2011).

$$W_i^+ = \log_e[(N_{pix1} / (N_{pix1} + N_{pix2})) / (N_{pix3} / (N_{pix3} + N_{pix4}))] \quad \text{رابطه ۶}$$

$$W_i^- = \log_e[(N_{pix2} / (N_{pix1} + N_{pix2})) / (N_{pix4} / (N_{pix3} + N_{pix4}))] \quad \text{رابطه ۷}$$

که در آن، N_{pix1} تعداد پیکسل‌های لغزشی در یک کلاس N_{pix2} (تعداد کل پیکسل‌های لغزشی در یک نقشه) - (تعداد پیکسل‌های لغزشی در یک کلاس) N_{pix3} (تعداد پیکسل‌های یک کلاس) - (تعداد پیکسل‌های لغزشی در یک کلاس)، N_{pix4} (تعداد کل پیکسل‌های یک نقشه) - (تعداد کل پیکسل‌های لغزشی یک نقشه) - (تعداد پیکسل‌های یک کلاس) + (تعداد پیکسل‌های لغزشی در یک کلاس) (Pourghasemi et al, 2011).

$$C = [(w^+) - (w^-)] \quad \text{رابطه ۸}$$

$$W_{fin} = C / Sc \quad \text{رابطه ۹}$$

که در آن، C تفاضل وزن‌های مثبت و منفی، W_{final} وزن نهایی استاندارد شده و Sc انحراف استاندارد است که برابر با جذر واریانس هر یک از وزن‌های مثبت و منفی می‌باشد (Pourghasemi et al, 2011).

جدول ۱: چهار حالت پتانسیل ایجاد زمین‌لغزش

عوامل ایجاد زمین‌لغزش		
فقدان حضور	حضور	زمین لغزش
N_{pix2}	N_{pix1}	حضور
N_{pix4}	N_{pix3}	فقدان حضور

در مرحله بعد، نقشه هر یک از عوامل مؤثر در محیط ArcMap با نقشه پراکنش زمین‌لغزش‌ها تلفیق شد و تعداد لغزش در هر طبقه به دست آمد. برای ارزیابی نقشه پهنه‌بندی حساسیت زمین‌لغزش، از بین ۱۳۴ نقطه لغزشی تعدادی از

نقاط برای مدل سازی و بخشی از زمین لغزش ها نیز برای ارزیابی مدل (با نسبت حدودی هفتاد به سی درصد) استفاده شد. سپس با استفاده از منحنی ROC، صحت نقشه پهنه بندی ارزیابی شد. این منحنی از کارآمدترین روش ها در ارائه خصوصیت تعیینی، شناسایی احتمالی و پیش بینی سیستم ها است که میزان دقت مدل را به صورت کمی برآورد می کند (Pourghasemi et al, 2011). سطح زیر منحنی ROC، بیانگر مقدار پیش بینی سیستم از طریق توصیف توانایی آن در تخمین درست وقایع رخ داده (وقوع زمین لغزش) و فقدان وقوع رخداد (فقدان وقوع زمین لغزش) است.

۴- نتایج

نقشه پراکنش نقاط لغزشی در منطقه مطالعات حاصل از بررسی های میدانی و اطلاعات موجود، در شکل ۲ نشان داده شد. در مرحله بعد، نقشه های عامل شامل دوازده نقشه ارتفاع از سطح دریا، جهت شیب، درجه شیب، شکل شیب، فاصله از گسل، فاصله از جاده، کاربری اراضی، زمین شناسی، فاصله از آبراهه، شاخص طول شیب یا شاخص حمل رسوب، شاخص رطوبت توپوگرافیک و شاخص پوشش گیاهی تهیه شد که در شکل ۳ آمده است. همین طور نتایج حاصل از ارتباط بین عوامل مؤثر بر وقوع زمین لغزش و لغزش های رخ داده، با استفاده از مدل احتمالاتی یا تئوری بیزین در جدول ۲ ارائه شد.

جدول ۱: ارتباط بین هر یک از عوامل مؤثر و نقاط لغزشی با استفاده از مدل احتمالاتی بیزین

عوامل	بیکسل های فاقد لغزش		بیکسل های لغزشی		نسبت فراوانی	W+	W-	C	S2(W+)	S2(w+)	S0	C/S0	کلاس
	تعداد	درصد	تعداد	درصد									
درجه شیب	<5	689136	7/024	8	8/510	1/21	0/191	0/21	0/125	0/11	0/369	0/56	
	5-15	689136	7/024	8	8/510	1/21	0/191	0/21	0/125	0/11	0/369	0/56	
	15-30	689136	7/024	8	8/510	1/21	0/191	0/21	0/125	0/11	0/369	0/56	
	30-50	689136	7/024	8	8/510	1/21	0/191	0/21	0/125	0/11	0/369	0/56	
	>50	689136	7/024	8	8/510	1/21	0/191	0/21	0/125	0/11	0/369	0/56	
جهت شیب	هموار	410523	4/184	0	0	0	0/514	0/42	0/11	0/10	0/21	0/24	
	شمال	1450888	14/788	6	6/38	0/43	0/84	0/94	0/166	0/11	0/421	0/21	
	شمال شرقی	1236609	12/604	7	7/44	0/59	0/52	0/57	0/142	0/11	0/392	0/48	
	شرق	1041015	10/610	10	10/63	1/02	0/02	0/00	0/100	0/11	0/334	0/08	
	جنوب شرقی	1006764	10/261	10	10/63	1/04	0/03	0/04	0/100	0/11	0/334	0/12	
	جنوب	1041005	10/610	17	18/08	1/71	0/53	0/87	0/58	0/12	0/267	0/31	
	جنوب غربی	1086712	11/076	16	17/02	1/54	0/42	0/69	0/62	0/12	0/274	0/81	
	غرب	1147415	11/695	18	19/14	1/64	0/49	0/88	0/58	0/13	0/262	0/21	
	شمال غربی	1390116	14/168	10	10/63	0/75	0/28	0/40	0/32	0/11	0/334	0/97	
	500>	566120	5/770	13	13/83	2/39	0/874	0/89	0/96	0/12	0/298	0/22	
طبقه های ارتفاعی (متر)	500-1000	3498930	35/663	53	56/382	1/58	0/458	0/388	0/85	0/17	0/24	0/07	
	1000-1500	3056609	31/154	22	23/404	0/75	0/286	0/106	0/45	0/13	0/243	0/61	
	1500-2000	1924903	19/619	6	6/382	0/33	0/122	0/152	0/166	0/11	0/421	0/02	

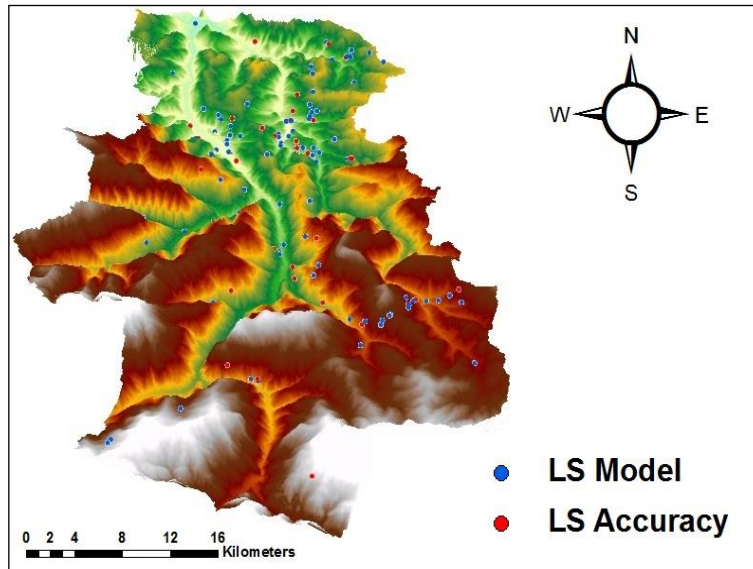
۰/۱۲	۰/۳۲	۰/۰۱۰	۰/۰۵	۰/۵۶	۰/۰۶۲	-۰/۲۹	۰	۰	۰	۶/۱۰۲	۵۹۸۷۱۴	۲۰۰۰-۲۵۰۰
۰/۰۸	۰/۱۴	۰/۰۱۰	۰/۰۹	۰/۴۵	۰/۰۱۲	۰/۱۴	۰	۰	۰	۱/۲۵۱	۱۲۲۷۸۲	۲۵۰۰-۳۰۰۰
۰/۱۳	۰/۴۲	۰/۰۱۰	۰/۲۱	۰/۲۶	۰/۰۰۴	-۰/۲۴	۰	۰	۰	۰/۴۳۸	۴۲۹۸۹	>۳۰۰۰
۲/۰۱-	۰/۳۶۲	۰/۰۱۱	۰/۱۴۲	-۰/۸	۰/۰۸۶	-۰/۷۱	۰/۴۹	۷/۴۴۶	۷	۱۵/۰۷۷	۱۴۷۹۲۲۹	اراضی زراعی و باغ‌ها
۰/۵	۰/۲۲	۰/۰۳	۰/۰۲	۰/۷۷	-۰/۶۶	۰/۳۲	۱/۳۷	۵۸/۰۸	۶۶	۴۹/۶۲	۴۸۳۳۳۳	جنگل
۰/۷۳-	۰/۵۸۵	۰/۰۱۰	۰/۳۳۱	-	۰/۰۲	-۰/۲۴	۰/۶۶	۱۹۱/۳	۳	۴/۷۲۶	۴۶۳۴۹۳	مناطق مسکونی
۱/۹۰-	۰/۲۵۲	۰/۰۱۳	۰/۰۵	-	۰/۱۲۳	-۰/۳۷	۰/۶۹	۲۱/۲۸	۲۰	۳۰/۴۲۴	۲۹۴۰۳۲	مرتع
۰/۳۰	۰/۲۰۷	۰/۰۱۰	۰/۰۲۳	۰/۰۸	-۰/۰۳۵	۰/۰۶۶	۰/۵۱	۱۶/۴۴	۴۲	۶۶/۲۴	۸۰۳۵۳۱	مقعر
-۲/۱۸	۰/۵۱۰	۰/۰۱۱	۰/۵۲۰	-	۰/۰۳۷	-۰/۱۰	۰/۶۳	۵۲/۴	۴	۱۱/۱۱	۱۱۷۰۸۵۶	مسطح
۱/۱۰	۰/۲۰۶	۰/۰۲۱	۰/۰۲۰	۰/۳۲	-۰/۰۱۰	۰/۱۱۷	۱/۱۳	۶۰/۱۵	۴۸	۴۵/۵۹	۴۴۵۳۸۸۳	محدب

کاربری اراضی

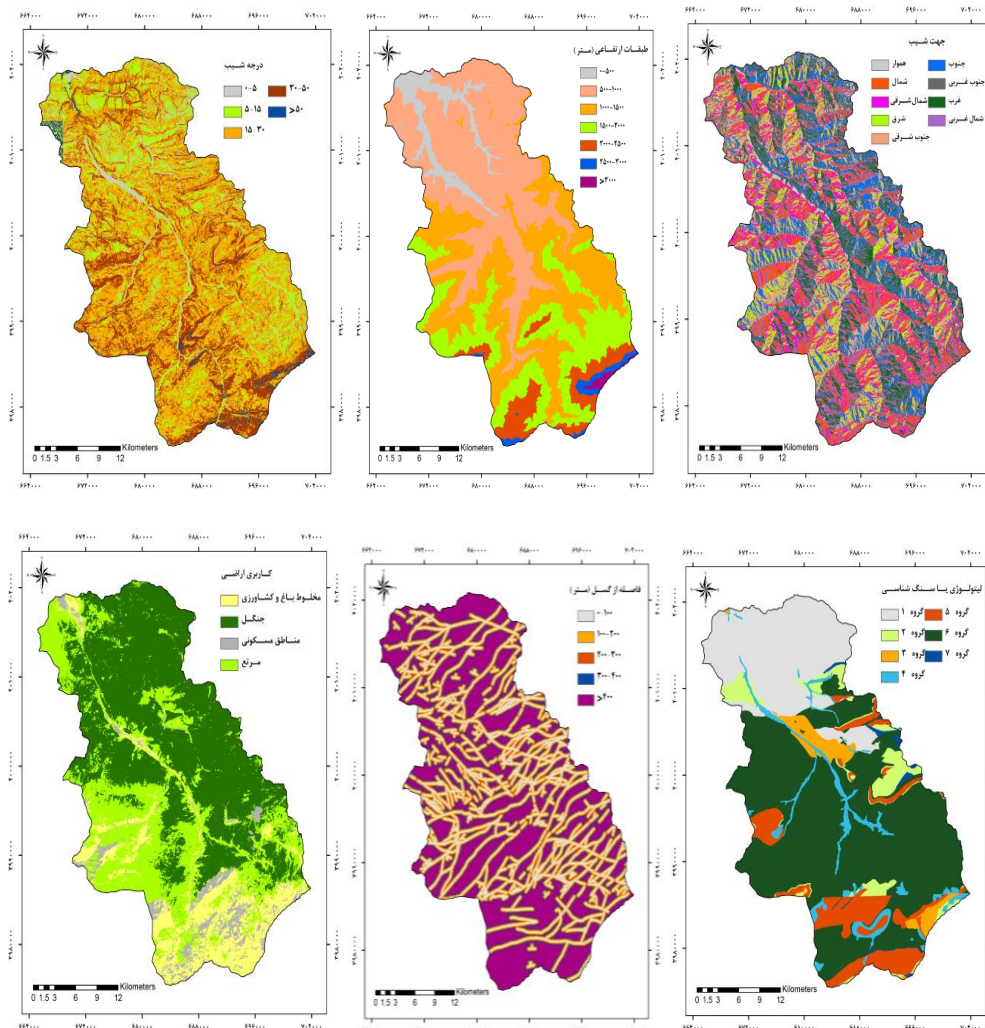
شکل شیب

ادامه جدول ۱: ارتباط بین عوامل مؤثر و رخداد زمین لغزش بر اساس تئوری بیزین

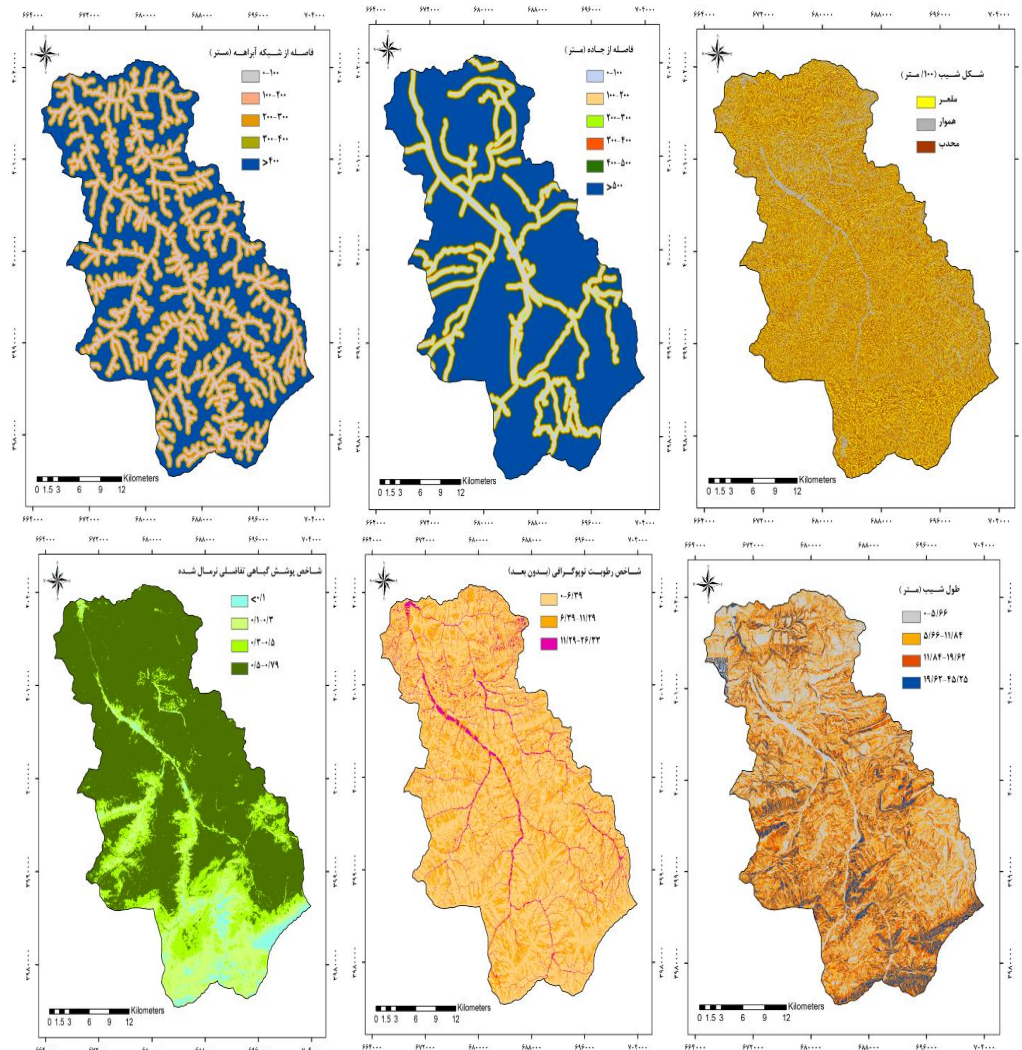
کلاس	بیکسل های فاقد لغزش		بیکسل های لغزشی		نسبت فراوانی	W+	W-	C	S2(W+)	S2(w+)	S©	C/S©
	درصد	تعداد	درصد	تعداد								
۰-۱۰۰	۲۱/۵	۲۱۱۸۸۶۰	۲۶/۵	۲۵	۱/۲۳	۰/۲۱	-۰/۰۷	۰/۲۷	۰/۰۴	۰/۰۱	۰/۲۳	۱/۱۵
۱۰۰-۲۰۰	۱۷/۸	۱۷۴۹۸۱۸	۱۱/۷	۱۱	۰/۶۵	-۰/۴۲	۰/۰۷	-۰/۰۵	۰/۱	۰/۰۱	۰/۳۲	-۱/۵۴
۲۰۰-۳۰۰	۱۴/۶	۱۴۳۸۷۱۵	۱۹/۱۵	۱۸	۱/۳۱	۰/۲۶	-۰/۰۵	۰/۳۲	۰/۰۶	۰/۰۱	۰/۲	۱/۲۳
۳۰۰-۴۰۰	۱۱/۴	۱۱۲۰۷۱۱	۱۳/۸	۱۳	۱/۲۱	۰/۱۹	-۰/۰۳	۰/۲۲	۰/۰۸	۰/۰۱	۰/۲	۰/۷۳
>۴۰۰	۳۴/۴	۳۳۸۲۹۴۳	۲۸/۷	۲۷	۰/۸۳	-۰/۱۸	۰/۰۸	-۰/۰۳	۰/۰۴	۰/۰۱	۰/۲۳	-۰/۱۷
۰-۱۰۰	۱۶/۲۲۵	۱۵۹۱۹۱۳	۲۴/۴۶	۲۳	۱/۵۰	۰/۱۴	-۰/۰۳	۰/۵۱	۰/۰۴۳	۰/۰۱۴	۰/۲۴	۲/۱۴
۱۰۰-۲۰۰	۱۴/۱۲۱	۱۳۸۵۵۱۶	۱۳/۸۳	۱۳	۰/۹۸	-۰/۰۲۰	۰/۰۱	-۰/۰۲	۰/۰۷۶	۰/۰۱۲	۰/۲۹	-۰/۰۸
۲۰۰-۳۰۰	۱۳/۱۳۴	۱۲۸۸۶۳۵	۲۰/۲۱	۱۹	۱/۵۴	۰/۴۳۱	-۰/۰۹	۰/۵۲	۰/۰۵۲	۰/۰۱۳	۰/۲۶	۲/۰۱
۳۰۰-۴۰۰	۱۱/۹۶۳	۱۱۱۳۷۳۱	۹/۵۸	۹	۰/۸۰	-۰/۲۲	۰/۰۳	-۰/۰۳	۰/۱۱۱	۰/۰۱۱	۰/۳۵	-۰/۷۱
>۴۰۰	۴۴/۵۵۴	۴۳۷۱۲۵۲	۳۱/۹۲	۳۰	۰/۷۲	-۰/۳۳	۰/۲۱	-۰/۰۵	۰/۰۳۳	۰/۰۱۵	۰/۲۲	-۰/۴۴
<۶/۳۹	۶۷/۳۲	۶۶۰۵۱۲۴	۶۱/۷۰	۵۸	۰/۹۱	-۰/۰۹	۰/۱۵۸	-۰/۰۳	۰/۰۱۷	۰/۰۲۷	۰/۲۱۲	-۱/۱۵
۶/۳۹-۱۱/۲۹	۲۷/۲۶	۲۶۷۵۳۵۷	۳۱/۹۱	۳۰	۱/۱۷	۰/۱۵۷	-۰/۰۶۶	۰/۲۲	۰/۰۳۳	۰/۰۱۵	۰/۲۲۱	۱/۰۰۹
۱۱/۲۹-۲۶/۳۳	۵/۴۰	۵۳۰۵۶۶	۶/۳۸	۶	۱/۱۸	۰/۱۶۵	-۰/۰۱۰	۰/۱۸	۰/۱۶۶	۰/۰۱۱	۰/۴۲۱	۰/۴۱
۰-۱۰۰	۵/۱۸۵	۸۰۳۱۱۷	۲۱/۲۸	۲۰	۲/۵۹	۰/۹۶	-۰/۱۵	۱/۱۱	۰/۰۵	۰/۰۱	۰/۲۵	۴/۴۰
۱۰۰-۲۰۰	۷/۰۴۸	۶۹۱۵۰۶	۱۵/۹۶	۱۵	۲/۲۶	۰/۸۱۷	-۰/۱۰۰	۰/۹۲	۰/۰۶۶	۰/۰۱۲	۰/۲۸۱	۳/۲۵۹
۲۰۰-۳۰۰	۶/۵۱۲	۶۳۸۸۹۶	۱۲/۷۶	۱۲	۱/۹۶	۰/۶۷۳	-۰/۰۶۹	۰/۷۴	۰/۰۸۳	۰/۰۱۲	۰/۳۰۹	۲/۴۰۱
۳۰۰-۴۰۰	۶/۱۶	۶۰۰۰۷۷	۱۵/۹۶	۱۵	۲/۶۱	۰/۹۵۸	-۰/۱۱۰	۱/۰۷	۰/۰۶۶	۰/۰۱۲	۰/۲۸۱	۳/۷۹۸
۴۰۰-۵۰۰	۵/۶۶۹	۵۵۶۲۶۷	۳/۱۹۱	۳	۰/۵۶	-۰/۵۷	۰/۰۲۵	-۰/۰۶	۰/۰۳۳	۰/۰۱۰	۰/۵۸۶	-۱/۰۲
>۵۰۰	۶۶/۴۶۷	۶۵۲۱۱۸۴	۳۰/۸۵	۲۹	۰/۴۶	-۰/۷۷	۰/۰۷۲	-۱/۰۵	۰/۰۳۴	۰/۰۱۵	۰/۲۲۳	-۶/۶۷
<۵/۶۶	۳۳/۲۷	۳۲۶۴۴۳۷	۳۶/۱۷	۳۴	۱/۰۸	۰/۰۸۳	-۰/۰۴۴	۰/۱۳	۰/۰۲۹	۰/۰۱۶	۰/۲۱۴	۰/۵۹
۵/۶۶-۱۱/۸۴	۳۵/۳۷	۳۴۷۰۵۷۸	۳۵/۱	۳۳	۰/۹۹	-۰/۰۱	۰/۰۰۴	-۰/۰۱	۰/۰۳۰	۰/۰۱۶	۰/۲۱۶	-۰/۰۵
۱۱/۸۴-۱۹/۶۲	۲۲/۵۶	۲۲۱۳۷۱۶	۲۷/۶۵	۲۶	۱/۲۳	۰/۲۰۳	-۰/۰۷	۰/۲۷	۰/۰۳۸	۰/۰۱۴	۰/۲۳۰	۱/۱۷
۱۹/۶۲-۴۵/۲۵	۸/۷۸	۸۶۲۳۱۶	۱/۰۶۳	۱	۰/۱۲	-۲/۱۱	۰/۰۸۱	-۲/۲	۱/۰۰	۰/۰۱۰	۱/۰۰۵	-۲/۱۸



شکل ۲: نقشه پراکنش زمین لغزش‌ها در منطقه مورد مطالعه



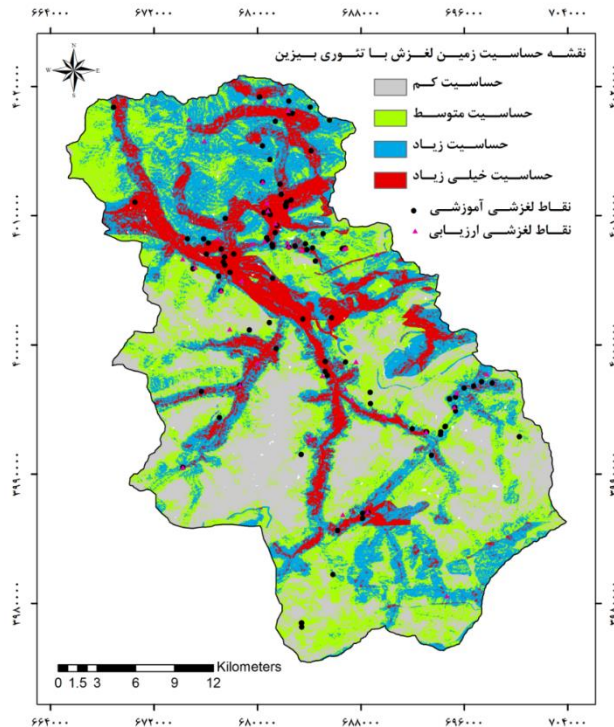
شکل ۳: نقشه‌های عوامل مؤثر در زمین لغزش با استفاده از تئوری بیزین در منطقه مورد مطالعه



شکل ۴: نقشه‌های عوامل مؤثر در زمین لغزش با استفاده از تئوری بیزین در منطقه مورد مطالعه

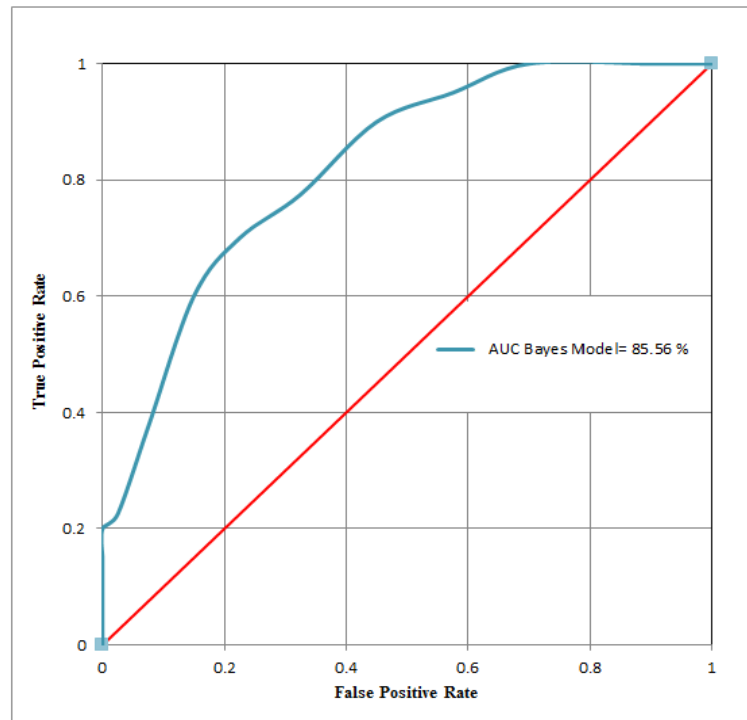
در نهایت بعد از تهیه نقشه‌های وزنی بر اساس روابط مدل، نقشه پهنه‌بندی حساسیت زمین لغزش تهیه و بر اساس شکستگی‌های طبیعی^۱، به چهار کلاس حساسیت کم، متوسط، زیاد و خیلی زیاد طبقه‌بندی شد. نتیجه پهنه‌بندی حساسیت زمین لغزش با استفاده از تئوری بیزین در شکل (۳ و ۴) ارائه شد. این شکل، صرفاً نقشه حساسیت به زمین لغزش منطقه را نشان می‌دهد و در واقع، نقشه پیش‌بینی حساسیت زمین لغزش است که از تعداد لغزش‌های اتفاق افتاده کمک گرفته و با تئوری بیزین مدل‌سازی شده‌است.

¹ Natural Breaks



شکل ۵: نقشه پهنه‌بندی حساسیت زمین لغزش منطقه مورد مطالعه با استفاده از تئوری بیزین

براساس شکل ۵، محدوده حساسیت کم به زمین لغزش عمدتاً مناطق جنگلی با ضخامت زیاد خاک و پوشش انبوه گیاهی را شامل می‌شود که در قسمت‌های غرب و جنوب شرق حوضه آبخیز پراکنده است. مناطق با حساسیت متوسط نیز غالباً در نقاط و ارتفاع مختلف حوضه آبخیز به طور نسبتاً یکنواخت قرار دارد. محدوده با حساسیت زیاد نیز در شمال و خروجی حوضه بر روی کنگلومرای پلیوسن و در جنوب حوضه بر روی سازند شمشک با ترکیب غالب شیلی، ماسه‌سنگی، سیلت سنگ و نیز دو طرف رودخانه‌ها و جاده‌ها گسترش دارد. مناطق با حساسیت زیاد صرفاً در نزدیکی آبراه‌ها و جاده‌ها بدون توجه به نوع سازند زمین‌شناسی توزیع شده است. همان‌طور که بیان شد، برای اعتبارسنجی نتایج یا مدل‌ها از منحنی ROC استفاده شد. هر چه سطح زیر منحنی بیشتر باشد، دقت مدل نیز بیشتر می‌شود و میزان آن بین ۰/۵ تا ۱ متغیر است. سطح زیر منحنی ROC برای مدل بیزین ۸۵/۵۶ است و در طبقه خیلی خوب قرار می‌گیرد (شکل ۶).



شکل ۵: منحنی ROC و سطح زیر منحنی مربوط به نقشه پهنه‌بندی حساسیت زمین لغزش با استفاده از تئوری بیزین

۵- بحث و نتیجه‌گیری

نقشه حساسیت به زمین لغزش این حوضه، به کمک زمین لغزش‌های موجود و با استفاده از نظریه یا مدل احتمالاتی بیزین تهیه شد و در واقع، نوعی پیش‌بینی صورت گرفت و نقشه حساسیت به زمین لغزش رسم شد که در ادامه به جزئیات آنها پرداخته خواهد شد.

نتایج حاصل از بررسی عوامل مؤثر بر وقوع زمین لغزش با استفاده از تئوری بیزین در منطقه مورد مطالعه نشان داد که بیشترین درصد زمین لغزش‌ها مربوط به کلاس ۳۰-۱۵ درجه با وزن ۱/۲۸ است که با نتایج Arakanavolu and Goklu (2004) - که معتقد است بیشتر زمین لغزش‌ها در شیب‌های متوسط اتفاق می‌افتد - همخوانی دارد. همچنین این نتیجه با پژوهش Fathi و همکاران (2018) مطابقت دارد؛ بدین سبب که در شیب‌های متوسط، دخالت انسانی از قبیل کاربری اراضی به حساسیت این شیب‌ها منجر می‌شود؛ زیرا در شیب‌های کمتر، نیروی مقاوم (عمودی) بیش از نیروی محرک (افقی) است و شرایط وقوع زمین لغزش فراهم نمی‌شود (Yesilnacar et al, 2011). بررسی جهت شیب نیز نشان می‌دهد که بیشتر لغزش‌های منطقه، در جهت غرب و جنوب با وزن نهایی به ترتیب ۲/۲۱ و ۲/۴۱ رخ می‌دهد که با پژوهش Shams and Alizadeh (2018) و Mansouri و همکاران (2016) سازگار است. بررسی شکل شیب با وزن نهایی ۱/۱ نیز نشان می‌دهد که بیشتر لغزش‌های منطقه در شیب‌های محدب رخ می‌دهد که با نتایج Pourqasemi و همکاران (2011-2012) مشابه است که ممکن است به دلیل فرسایش بیشتر در دامنه جنوبی کوه‌ها مانند سایر نقاط نیم کره شمالی زمین باشد. شیب‌های محدب معمولاً بیشترین زمین لغزش را دارد. این عامل می‌تواند در همگرایی و واگرایی جریان انتقالی از بالادست حوضه به پایین دست آن نقش به‌سزایی داشته باشد که با نتایج مطالعات Pourqasemi و همکاران (2011) مطابقت دارد. نقش این نوع شیب در فراوانی زمین لغزش ممکن است به دلیل

گسترده‌گی و انقباض مکرر ناشی از بارندگی باشد که با خزش و جریان گلی همراه است. در طبقه ارتفاعی ۱۰۰۰-۵۰۰ متر، حداکثر زمین لغزش با وزن ۴/۰۷ اتفاق افتاده است. با افزایش ارتفاع، میزان حساسیت به خطر زمین لغزش کم می‌شود که این موضوع بیانگر دخالت‌های انسانی کم یا لیتولوژی مقاوم منطقه در ارتفاعات بالاتر است که با نتایج مطالعات Pourqasemi و همکاران (2011-2012) مطابقت دارد.

بررسی سنگ‌شناسی نیز نشان می‌دهد که سنگ‌های ماسه‌ای، شیلی و سیلتی بیشترین نقش را در زمین لغزش به خود اختصاص می‌دهد و وزن آن ۹/۶۰۷ است. این نتیجه با پژوهش دیگران از جمله Yesilnacar (2005) همخوانی دارد. دلیل اصلی حساسیت این سازندها به فرسایش، قابلیت جذب آب آنهاست که در سنگ‌های مارنی و شیلی به دلیل وجود کانی‌ها و ذرات رسی اتفاق می‌افتد و محققان دیگر از جمله Pourqasemi (2017) به آن اشاره کرده‌اند. کاربری اراضی نشان می‌دهد که مرتع با وزن نهایی ۳/۴۸، بیشترین سهم لغزش را به خود اختصاص می‌دهد که با مطالعات Shams and Alizadeh (2018) تطبیق دارد. بررسی فاصله از جاده، آبراهه و گسل نشان می‌دهد که بیشترین لغزش‌های اتفاق افتاده، در فواصل ۱۰۰-۰ متری سه عامل مذکور رخ می‌دهد که بیانگر همبستگی وقوع زمین لغزش با حریم جاده، آبراهه و گسل است و با نتایج بسیاری از محققان از جمله Pourqasemi and Mohammady (2016) سازگار است. علت این است که این عوامل تعادل طبیعی زمین را به هم می‌زند و سبب ناپایداری می‌شود. با توجه به پوشش گیاهی، بیشترین درصد زمین لغزش‌ها مربوط به کلاس ۰/۵-۰/۳ با وزن ۳/۵۶ است. تحلیل رطوبت توپوگرافیک و شاخص حمل رسوب (توان آبراهه)، بیانگر آن است که بیشترین وزن لغزشی به ترتیب مربوط به طبقات ۱۱/۲۹-۶/۳۹ و ۱۱/۱۹-۸۴/۶ با وزن‌های ۱/۰۰۹ و ۱/۱۷ است. نقشه پهنه‌بندی با توجه به دوازده عامل، در چهار کلاس حساسیت در شکل ۵ ارائه شد. بر اساس این شکل، زمین لغزش‌ها به ترتیب در کلاس‌های با حساسیت کم ۲۵/۴۰ درصد، متوسط ۳۱/۵۶ درصد، زیاد ۲۸/۷۲ درصد و خیلی زیاد ۱۴/۳۰ درصد قرار گرفته است. کلاس با حساسیت کم عمدتاً در مناطق جنگلی، مناطق با حساسیت متوسط غالباً در نقاط و ارتفاع مختلف، محدوده با حساسیت زیاد در شمال و خروجی حوضه بر روی کنگلومرای پلیوسن و در جنوب بر روی سازند شمشک با ترکیب غالب شیلی، ماسه‌سنگی و سیلت سنگ و نیز دو طرف رودخانه‌ها و جاده‌ها گسترش دارد. مناطق با حساسیت زیاد نیز صرفاً در نزدیکی آبراهه‌ها و جاده‌ها بدون توجه به نوع سازند زمین‌شناسی توزیع شده است. نتایج این مقاله می‌تواند در آمایش و برنامه‌ریزی حوضه‌های آبخیز نقش مهمی داشته باشد. به طور خلاصه می‌توان گفت براساس نقشه حساسیت زمین لغزش در شکل ۶، مناطق با حساسیت کم شامل ارتفاعات جنوب، جنوب غربی و جنوب شرقی به خصوص ارتفاعات بالای هزار متری و با رخنمون سنگی بود که سازندهای زمین‌شناسی الیکا، لار و تیزکوه با لیتولوژی کربناتی، مساحت زیادی از این مناطق را پوشش می‌دهد. مناطق با حساسیت متوسط نیز بیشتر دامنه ارتفاعات است که در محدوده با حساسیت کم و در قسمت‌های جنوبی و میانی حوضه آبخیز تالار پراکنده است و در فاصله دور از جاده روستایی، رودخانه یا گسل قرار می‌گیرد و دارای شاخص پوشش گیاهی کم است. مناطق با حساسیت زیاد زمین لغزش نیز در قسمت‌های شمال حوضه شامل تپه ماهورهای کنگلومرای و روستاهای جنگلی و با شاخص پوشش گیاهی متوسط تا زیاد واقع شده است. این مناطق به دلیل قطع درختان، تغییر کاربری اراضی و جاده‌های دسترسی به روستاها، معادن زغال‌سنگ و استحصال چوب جنگلی، حساسیت زیادی به زمین لغزش دارد. محدوده با حساسیت خیلی زیاد نیز در موازات جاده‌ها، رودخانه‌ها، گسل‌ها و دامنه‌های سازند

شیلی شمشک واقع شده است. این مناطق به خصوص در موازات جاده‌های احداثی در سازندهای زمین‌شناسی شیلی و مارنی دره‌های عریض قرار دارد. برای اعتبارسنجی نتایج یا مدل‌ها از منحنی ROC استفاده شد و سطح زیر این منحنی برای مدل بی‌زین به میزان ۸۵/۵۶ به دست آمد و در طبقه خیلی خوب قرار گرفت که بیانگر دقت بالای مدل است. به طور کلی، مقایسه نتایج این تحقیق با جدیدترین پژوهش‌های صورت گرفته در ایران نشان داد که کاربری زمین، مهم‌ترین عامل ایجاد زمین‌لغزش در حوضه سرخون کارون در استان چهارمحال و بختیاری است (Shirani, 2017) و بارش، سنگ‌شناسی و کاربری زمین نیز مهم‌ترین عوامل ایجاد این پدیده در حوضه دوآب صمصامی در همین استان به شمار می‌رود (Mansouri et al, 2017)؛ حال آنکه در این تحقیق مشخص شد که فاصله از آبراه و جاده به همراه عامل سنگ‌شناسی، در وقوع زمین‌لغزش در حوضه آبخیز تالار نقش اصلی را برعهده دارد. مطالعات همین محققان بیانگر آن است که مجموع پهنه‌های حساس و خیلی حساس به زمین‌لغزش، حدود ۴۵ درصد است؛ در حالی که در این تحقیق، این میزان در حدود ۴۳ درصد می‌باشد که بسیار به هم نزدیک است (Shirani, 2017). علاوه بر این، سطح زیر منحنی ROC برای حوضه آبخیز سرخون کارون با روش دمپستر—شيفر (DS) و آنتروپی شانون به ترتیب ۸۲ و ۸۱ درصد حاصل شد که با مقدار ۸۵/۵۶ درصد، از نتیجه این تحقیق کمتر است (Shirani et al, 2018). سطح زیر این منحنی نیز با روش دمپستر—شيفر برای حوضه آبخیز تالار به میزان ۸۴/۷۵ درصد به دست آمد (Shirani et al, 2018). در همین زمینه و برای مقایسه، سطح زیر منحنی ROC برای حوضه دوآب صمصامی با روش وزن شاهد (بی‌زین) و آنتروپی شانون به ترتیب به میزان ۷۹ و ۷۳ حاصل شد (Mansouri et al, 2017).

منابع

1. Arabameri, A. R.; K. Shirini, K.; & Kh. Rezaei, 2017. Comparative evaluation of probabilistic methods of event weight and frequency ratio in landslide risk zoning (Case study of Vanak watershed in Isfahan), *Watershed management research*, 8(15), 147.
2. Balali, F.; Vahabzadeh, G.; pourghasemi, H. R.; & M. Foroozanfar, 2016. Landslide potential mapping using fuzzy logic (case study: a part of the Nekarod watershed), *Winter and Spring*, 9(3), 19-30.
3. Beheshti, Z.; Gharagozlou, A.; Monavari, M.; & M. Kheirkhah Zarkesh, 2021. Landslides behavior spatial modeling by using evidential belief function model, Promethean II model, and index of entropy in Tabriz, Iran, *Arabian Journal of Geosciences*, 14, 1801.
4. Ebrahimi, M. M.; Habib Elahyan, H.; Mahmoud, A. Gh.; AmirAhmadi, Gh., & Sh. Bahrami, 2014. Zoning of landslide risk sensitivity using probabilistic event weight model (Bayesian theory) Case study of Neishabour watershed, *Geography and environmental planning*, 25- 56(4), 110.
5. Esfandiari, A.; F. Beheshti, F. J.; Ebrahim, J.; & M. H. Fathi, 2014. Zoning of landslide susceptibility using Bayesian theory (Case study: Siahroud watershed), *Geography and Environmental Hazards Number Twelve*.
6. Fathi, M. H. M.; Abedini, M.; & Sh. Rural, 2018. Identification and zoning of landslide prone areas using the C-method and conditional probability theory (Bayesian theorem, case study: Sattar Khan), *Quarterly Journal of Geographical Space*, 18(64), 11.
7. Karimi Sangchini, I. M.; Ownegh., M. A.; Sadaldin., A.; & A. Mashayekhan, 2018. Landslide hazard and damage assessment in Chehelchai watershed, Golestan province, *Watershed management research (research and construction)*, 98, 84-74.

8. Koehorst, B. A. N. O.; Kjeksted, O. D.; Patel, D.; Lubkowski, Z. J. G.; Knoeff, J. G.; & G. J. Akkerman, 2005. Work Package ۶, Determination of Socio – Economic Impact of Natural Disasters, Assessing socio – economic Impact in Europe, 173.
9. Mansouri, M.; Shirani, K.; Ghazifard, A.; & N. Emami, 2017. Application of probabilistic methods in landslide hazard zonation mapping (Case study: Doab Samsami region in Chaharmahal and Bakhtiari province), *Geoscience*, 26 (10), 267-280.
10. Mohammadi, A.; Heshmatpoor, A.; & A. Mosaedi, 2004. Study on Efficiency of an Iranian method for Landslide Hazard Zonation in Golestan Province, EGU - 1st General Assembly. Nice. France, 34-67.
11. Mohammady, M. H. R.; Pourghasemi, H. R.; & B. Pradhan, 2012. Landslide susceptibility mapping at Golestan Province, Iran: A comparison between frequency ratio, *Dempster-Shafer*, and *weights-of-evidence* models. *J. Asian Earth Sc*, 61, 221-236.
12. Moore, I. D., & G. J. Burch., (1986). Sediment transport capacity of sheet and rill flow: application of unit stream power theory. *Water Resources Research*. 22 (28), 1350-1360.
13. Mousavi, S. Z.; Kaviyan, A. K.; Solaimani, K.; & S. R. Mousavi, 2011. Preparation of landslide susceptibility map in Sajarood watershed using logistic regression model, *Journal of Agricultural Science and Technology and Natural Resources. Soil and Water Sciences*, 40, 111-99.
14. Piacentinia, D.; Troiani, F. M.; Soldati, M. C.; Notarnicola, C. D.; Savelli, D. S.; Schneiderbauer, S.; & C. Strada, 2012. Statistical analysis for assessing shallow-landslide susceptibility in South Tyrol (south-eastern Alps, Italy), *Geomorphology*, 151, 196-206.
15. Pourghasemi, H. R., 2011. Landslide sensitivity zoning using the probabilistic weight model of the event. (Case study: part of Mazandaran province, Haraz watershed), *Spatial Information Technology Quarterly*, 1(3), 10.
16. Pourqasemi, H. R., 2013. Landslide risk prediction using data mining methods in the north of Tehran. Ph.D. Thesis. Tarbiat Modares Noor University, *Faculty of Natural Resources, Department of Watershed Management*, 151-1.
17. Pourqasemi, H. R., & M. Mohammady., (2016). Presentation of new ensemble method of Bayesian and logistic regression models in landslide susceptibility assessment in the Khalkhal Township. *Quarterly journal of Environmental Erosion Research*. 6- 2 (22), 16-30.
18. Pourqasemi, H. R., 2007. Landslide risk assessment using fuzzy logic (case study of part of Haraz watershed). M.Sc. Thesis. Faculty of Natural Resources and Marine Sciences, Tarbiat Modares University Noor, 92.
19. Ramani, E.; Kumarave, P.; & G. V. Rajamanicham, 2014. Assessing landslide Susceptibility using Bayesian probability-based Weight of evidence model, *Bull Eng Geol Environ*, 73(59), 147-167.
20. Ranjbar, M., & M. MehmarEfhtekhari., (2012). Zoning of landslide phenomenon using LNRF method in Haraz road (from Imamzadeh Hashem to Larijan). *Geography (Practical-Research Quarterly of the Geographical Association of Iran)*, 3(33), 128-107.
21. Regmi, A. D.; Devkota, D.; Yoshida, K. C.; Pradhan, k.; puorghasemi, B.; Kumamoto, H. R.; & A. Akgun, 2014. Application of frequency ratio, statistical index and weight-of evidence model and their comparison in landslide Susceptibility mapping in central Nepal Himalya, *Arab J Geosci*, 7(2), 725-742.
22. Regmi, N. R.; Giardino, J. R.; & J. D. Vitek, 2010. Modeling susceptibility to landslides using the weight of evidence approach: Western Colorado. USA, *Geomorphology*, 115, 172-187.
23. Shahabi, M. 2009. Bayesian Decision Network An approach to predict the effects of drought management measures on dryland wheat cultivation lands in Golestan province. Proceedings of the 5th National Watershed Management Conference of Iran. 2-3. Gorgan.Iran.

24. Shams, J., & A. Alizadeh., (2018). Landslide Sensitivity Zoning Using Conditional Probabilistic Model (Bayesian Theory), Case Study: Qara Dagh (Arasbaran from Qarasu to Diz). *Geography and Planning*. 22(63), 101.
25. Shirani, K., 2017. Modelling and Assessment of Landslide Susceptibility Zonation using Shannon's Entropy Index and Bayesian Weight of Evidence (Case Study: Sarkhoon Basin, Karoon), *J. Water and Soil Sci (Sci. & Technol. Agric. & Natur. Resour.)*, 21(1), 11.
26. Shirani, K.; Pasandi, M.; & A. Arabameri, 2018. Landslide susceptibility assessment by Dempster-Shafer and Index of Entropy models, Sarkhoon basin, Southwestern Iran, "*Natural Hazards*, 93(3), 1379-1418.
27. Silakhori, Z.; Vahabzadeh kebria, G.; & H. R. Pourqasemi, 2021. Landslide Hazard Assessment Using Dempster-Shafer model (Case study; part of Talar watershed) *.E.E.R. Jour-*, 11(3), 82-93.
28. Talebi, A., & N. Niyazi., (2011). Investigation of the capability of physical-hydrological model for the study of surface landslides on natural slopes (Case study: Ilam dam watershed). *Iranian Journal of Natural Resources*. 3, 337-323.
29. Vahabzadeh, G., & S. Ahmadi., (2021). Evaluating of the effect of climate on the weathering process of rocks (Case study of Telar basin). *Journal of geography and environmental hazards. Current issue, in press*, 23.
30. Yesilnacar, E. K., 2005. The Application of Computational Intelligence to Landslide Susceptibility Mapping in Turkey, University of Melbourne, 790.
31. Zhu A. X.; Wang, R.; Qiao, J.; Qin, Z.; Chen, Y.; Liu, J.; Du, J. F.; Lin, F. Y.; & Y. T. Zhu, 2014. An expert knowledge-based approach to landslide Susceptibility using GIS and fuzzy logic, *Geomorphology*, 214, 128-138.

Landslide Susceptibility Mapping using Bayesian Model: A Case Study of some Regions of Talar Watershed, Mazandaran Province

Zahra Silakhori: *Graduated M.Sc., Department of Watershed Management, Faculty of Natural Resources, Sari Agricultural Sciences and Natural Resources University.*

Ghorban VahabzadeKebriya *1: *Associate Professor, Department of Watershed Management, Faculty of Natural Resources, Sari Agricultural Sciences and Natural Resources University.*

Hamidreza Ghasempoori: *Associate Professor, Department of Natural Resources and Environmental Engineering College of Agriculture, Shiraz University, Shiraz, Iran.*

Article History (Received: 2021/09/28

Accepted: 2022/10/6)



Extended abstract

1- Introduction

Mass movements are a type of morphodynamical phenomena that are usually related to various factors and occur on slopes in mountainous areas. Every year, damages caused by landslides lead to financial loss and death over the world (Fathi et al., 2018). According to previous studies, landslides cause 17% of the world's natural disasters. Mortality rates from 1903 to 2004 for different continents, including Asia, United States, Europe, Africa, and Australia were 29%, 39%, 30%, 1%, and 1%, respectively (Kohorest et al., 2005). Over the last three decades, several research studies have been conducted on landslide susceptibility mapping using different methods for developing their classification. All mapping methods are classified into five different groups including landslide distribution analysis, qualitative, statistical, deterministic, and frequency analyses (Vanvestern, 2003). Iran is prone to landslide phenomena due to natural conditions such as mountain topography, high tectonic and seismicity activity, geological and climatic diversity. Environmental factors affecting the occurrence of landslides are slope degree, aspect, plan curvature, elevation, land use, lithology, distance from the road, river and fault, topographic moisture index, slope length index or sediment transport and vegetation cover (Silakhori et al., 1400).

2- Methodology

Firstly, 134 points were identified using the Iranian landslide database and field survey in order to prepare a landslide susceptibility map using Bayesian theory. In the present study, 12 factors were used including elevation, slope and aspect, plan curvature, distance from the fault, road, and river, land use, geology, sediment transport index (STI), topographic wetness index (TWI), and vegetation cover. Then, topographic (1:50000), geology (1:100000), soil maps, and satellite imagery (Indian Remote Sensing) for 2012, were prepared and classified in ArcMap and ENVI environments. In order to evaluate Bayesian theory in landslide risk analysis, the relative performance curve of the relative efficiency of variables (ROC) was applied. This index is used to determine the accuracy and efficiency of the model (Egan, 1975; Williams et al., 1999). The area under the ROC curve represents the predicted value by describing its ability which accurately estimates the occurred events (landslide occurrence) and its non-occurred events (non-landslide occurrence). Therefore, the area under the curve is used as the model accuracy assessment. In the present study, 134 points of the landslide's phenomena were used for modeling (70%) and accuracy assessment (30%) (Pourghasemi et al., 2013).

-RESULTS???

3- Discussion & Conclusions

The results of the factors affecting the occurrence of landslides using Bayesian theory in the study area showed that most of the landslides occurred in the class of 15-30 degrees with a weight of 1.28, which is also reported by Eracanoğlu and Gokceolu (2004). The reason is that human intervention on these slopes causes more susceptibility (Yalcin et al., 2011). The study of aspect shows that most of the landslides occurred in the west and

¹ **Corresponding Author** : gh.Vahabzadeh@Sanruu.ac.ir

south directions with a weight of 2.21 and 2.41, respectively, which is confirmed by the results of Shams and Alizadeh (2019). The results of plan curvature showed that most of the landslides happened with a weight of 1.1 in convex slopes, which is close to the results of Pourghasemi (2013). Convex slopes usually have the highest landslides which is also reported in previous studies (Vanvewsten et al., 2003; Jaaferi et al., 2014). The altitude of 500-1000m covered by sandstones, shale and siltstones showed a significant relationship with a high number of landslides (Ayalew & Yamagishi, 2005). Among different land uses, rangeland (weight of 3.48) indicated the most significant relationship in landslide occurrence, which is reported by Shams and Alizadeh (2019).

The results of distance from roads, rivers, and faults showed that most landslides occurred at distances of more than 0-100 meters which confirms the results of previous studies (Pourghasemi & Mohammadi 2016). Also, the relationship between vegetation cover and landslides showed that the highest percentage occurred in class 0.5-0.3 with a weight of 3.56. In addition, the highest slippage for topographic wetness index and sediment transport index (river capacity) occurring were related to 6.39- 11.29 and 11.84-19.6 classes (weights of 1.009 and 1.17), respectively. The area under the curve was calculated at 85.56% in the model validation for the Bayesian model, which was classified as a very good performance. Therefore, the results of our study can play an important role in the management and planning of the Talar watershed.

Keywords: Susceptibility map, Landslide, Bayesian theory, ROC curve, Talar watershed